

Къ вопросу объ экспериментально-графическомъ изслѣдованіи бессемеровскаго процесса.

(Съ 4 табл. цинкографій и 1 табл. діаграммъ).

Дипломная работа Л. Красина, студента механическаго отдѣленія
Томскаго Технологическаго Института.

I. ВВЕДЕНИЕ.

Бессемерованіе представляетъ весьма интересный и своеобразный металлургический процессъ. Помимо органическаго отличія, которое заключается въ получении необходимаго для операциі тепла изъ самого рафинируемаго металла, бессемеровскій процессъ сопровождается цѣльнымъ рядомъ весьма красивыхъ и эффектныхъ явлений. Къ этимъ послѣднимъ, съ одной стороны, относятся внѣшніе физические моменты, заключающіеся въ окраскѣ вырывающагося изъ горловины конвертера пламени, его спектрѣ и звуковыхъ эффектахъ, съ другой стороны, бессемерованіе даетъ не менѣе любопытную картину структурныхъ формоизмѣненій металла, изученныхъ микроанализомъ, а также проявляеть весьма интересную закономѣрность во внутреннихъ сложныхъ термохимическихъ взаимоотношеніяхъ, вскрытыхъ графическимъ методомъ. Въ металлургической литературѣ со времени объявленія патента Henry Bessemer'омъ въ 1885 г. появилось не мало изученій и изслѣдований этого оригинальнаго изобрѣтенія, но большинство изысканій относится къ иностраннымъ чугунамъ. Среди этихъ работъ внимание авторовъ въ достаточной степени было удѣляемо діаграммамъ выгоранія элементовъ, полученнымъ на основаніи химическихъ анализовъ пробъ, взятыхъ изъ конвертера, чрезъ опредѣленные интервалы, за весь періодъ плавки. Всѣ эти діаграммы, хотя и демонстрируютъ одинъ и тотъ же металлургический процессъ, идущій на кремнистыхъ чугунахъ, и обнаруживаютъ достаточно ярко общія характеристическая особенности кри-
выхъ, по, тѣмъ не менѣе, каждая діаграмма обладаетъ своими частичными, индивидуальными признаками.

Къ наиболѣе раннимъ діаграммамъ должно отнести ту, которая была получена E. Barker'омъ въ семидесятыхъ годахъ минувшаго столѣтія на одномъ изъ англійскихъ заводовъ и является, такимъ образомъ, характерной для англійскаго бессемерованія¹⁾. (Діагр. № 1).

¹⁾ Zeitschr. fur Bauwesen, Band 26 (1876).

Наибольшее вниманіе въ этой діаграммѣ останавливаеть на себѣ кривая выгоранія С. Въ первыя четыре минуты кривая поднимается вверхъ и говорить объ относительномъ увеличеніи въ металлѣ этого элемента. Такой странный на первый взглядъ феноменъ есть фиктивное обогащеніе ванны С, обязанное своимъ появленіемъ быстротѣ окисленія Fe и переходу его въ шлакъ, вида $FeSiO_3$. Энергичное и равномѣрное выгораніе въ первыя 6 мин. Si содѣйствуетъ этой характеристической особенности англійского бессемерованія. Съ уменьшеніемъ же процентнаго содержанія въ ваннѣ Fe естественно относительное увеличеніе С, который лишь послѣ седьмой минуты начинаетъ быстро выгорать, когда температура ванны уже достаточно высока. Кривая Mn говорить о весьма ничтожномъ присутствіи его, и хотя англійские чугуны, вообще говоря, бѣдны Mn, но, тѣмъ не менѣе, на приведенной діаграммѣ кривая этого элемента нѣсколько сомнительна, о чёмъ, между прочимъ, упоминаетъ и проф. Павловъ въ своемъ труду „Металлургія стали“ отъ 1907 года.

Діаграмму характеризующую шведское бессемерованіе дали Cörasson и Magnuson¹⁾. (Діагр. № 2). Эта діаграмма не имѣеть фиктивнаго обогащенія ванны углеродомъ, въ силу, во-первыхъ, слишкомъ большого процентнаго содержанія его въ металлѣ, до 4,5%, почему углеродъ начинаетъ выгорать съ первыхъ-же минутъ дутья, а во-вторыхъ, этого отличительного признака англійского бессемерованія здѣсь нѣть еще и потому, что невысокое содержаніе Si обусловливаетъ холодный ходъ операциіи. Кривая Si въ первыя двѣ минуты стремительно падаетъ внизъ, равно какъ и кривая Mn, что является наиболѣе характернымъ для шведскаго процесса.

Американское бессемерованіе было зафиксировано на діаграммѣ проф. Howe, полученной имъ въ Чикаго на заводѣ компаніи Illinois въ недавніе годы²⁾). Кривыя діаграммы (Діагр. № 3) весьма близки къ кривымъ шведскаго бессемерованія и являются почти аналогами этихъ послѣднихъ. Фиктивнаго обогащенія ванны углеродомъ здѣсь также не наблюдается въ виду того, что содержаніе Si не велико, около 1%, а потому operaція идетъ вначалѣ не достаточно энергично и нѣть того значительного перемѣщенія окисленнаго желѣза въ шлакъ, что было констатировано при англійскомъ процессѣ. За первыя четыре минуты Si почти весь выгораетъ, но за этотъ промежутокъ времени температура ванны уже настолько высока, а сообщеннаго ей тепла отъ сгорѣвшаго кремнія настолько достаточно, что operaція до конца идетъ горячимъ ходомъ, и на десятой минутѣ достигается уже полная рафиниація металла. Въ Германіи наиболѣе широко распространено томасированіе, а потому нѣть прямой необходимости приводить здѣсь діаграмму Finkenauer'a), полученнную имъ при изученіи рафинированія фосфористыхъ чугуновъ.

¹⁾ A. Ledebur. Handbuch der Eisenhüttenkunde, Band 3.

²⁾ Проф. Павловъ. Металлургія стали. (1907 г.) (Литографированій курсъ).

³⁾ Mittheilungen der Königl. techn. Versuchsanstalt zu Berlin (1883).

Въ Россіи рынкомъ владѣютъ уральскіе, а за послѣднее время, главнымъ образомъ южно-руssкіе кремнистые чугуны.

Уральское бессемерованіе было изслѣдовано проф. Грумъ-Гржимайло, который получилъ на Нижне-Салдинскомъ заводѣ діаграмму выгораніе элементовъ уральскаго чугуна¹⁾). Діаграмма значительно отличается отъ всѣхъ приведенныхъ выше діаграммъ иностранныхъ изслѣдователей. Кривая С (Діагр. № 4) здѣсь вогнута по оси абсциссъ, въ то время, какъ во всѣхъ другихъ діаграммахъ она выпукла. Выгораніе углерода идетъ весьма энергично въ началѣ процесса и нѣсколько замедляется въ концѣ. Si выгораетъ чрезвычайно медленно; кривая его до двѣнадцатой минуты почти по прямой спускается къ оси абсциссъ, подъ весьма незначительнымъ уклономъ, и уже въ концѣ процесса рѣзко спускается внизъ. Проф. Павловъ, иллюстрируя разматриваемой діаграммой свой курсъ „Металлургію стали“, приводитъ слѣдующія разясненіе этого нѣсколько своеобразнаго характера кривыхъ діаграммы Уральскаго бессемерованія. Такъ, о кривой С проф. Павловъ говоритъ, что вогнутость ея къ оси абсциссъ объясняется тѣмъ, „что энергія окисленія углерода падаетъ по мѣрѣ теченіи операций, что въ свою очередь указываетъ на паденіе температуры“.

Далѣе, объясняя столь медленное выгораніе Si діаграммы проф. Грумъ-Гржимайло, проф. Павловъ говоритъ: „зависитъ это отъ двухъ причинъ: высокаго отношенія С : Si, которое достигаетъ въ русскомъ (уральскомъ) бессемерованіи своего maximum'а и чрезмѣрно высокой температуры начала процесса“.

Итакъ, разсмотрѣнная діаграмма относится къ Уральской упадочной промышленности.

Что же касается изслѣдованія рафинаціи чугуновъ Южной Россіи, то, къ сожалѣнію, до сихъ поръ не было еще опубликовано трудовъ, дающихъ діаграмму выгоранія элементовъ, входящихъ въ ихъ составъ. Вотъ почему первоначальной задачей излагаемой работы послужило получение діаграммы выгоранія элементовъ южно-руssкаго бессемерованія. Но собранныя съ этой цѣлью экспериментальныя данныя въ особенности въ области термохимической и металлургической, оказались настолько любопытными, что рамки первоначальной задачи были значительно расширены, отчего видоизмѣнился и самъ методъ работы. Въ то время, какъ первая часть ея велась по преимуществу дедуктивнымъ путемъ, слѣдя которому приходилось расчленить и детализировать моменты, слагающіеся въ весьма сложный процессъ, изобилующій химическими и физическими явленіями, наоборотъ, во второй половинѣ изслѣдованія индукція стала руководящей нитью тѣхъ обобщеній и выводовъ, которые неизбѣжно проявились, какъ результатъ предшествующаго анализа.

¹⁾ Проф. Грумъ-Гржимайло. Металлургія стали. Бессемеровскій процессъ. 1910 г.

2. Описаніе заводскихъ опытовъ и наблюденій.

Всѣ необходимыя экспериментальныя даннныя для излагаемой работы были получены на Александровскомъ металлургическомъ заводѣ Брянскаго Акционернаго Общества въ г. Екатеринославѣ при весьма любезномъ содѣйствїи заводской администраціи. Мы считаемъ своимъ пріятнымъ долгомъ выразить нашу глубокую признательность и благодарность вице-директору завода горному инженеру П. Т. Голышеву, который, завѣдуя бессемеровскимъ и мартеновскимъ цехами, любезно далъ разрѣшеніе экспериментаторамъ произвести цѣлый рядъ необходимыхъ для изслѣдованія опытовъ, до остановокъ дѣйствующаго конвертера включительно, какъ дневныхъ, такъ иочныхъ плавокъ.

Въ веденіи изслѣдуемыхъ бессемеровскихъ операцій и производствъ наблюденій, помимо дежурнаго мастера, бригады рабочихъ и автора излагаемой работы, приняли непосредственное участіе студенты старшихъ курсовъ Киевскаго Политехническаго Института, гг. Олимпіевъ, Куценокъ, Крыжановскій и Голышевъ.

Организація работъ приняла слѣдующій видъ. Одинъ изъ участниковъ изслѣдованія безотлучно находился при воздуходувныхъ и гидравлическихъ машинахъ, слѣдя за регулировкой этихъ послѣднихъ, двое посмѣнило вели наблюденія за наростаніемъ температуры пламени конвертера при помощи фотографическаго пирометра Wanner'a, одинъ руководилъ рабочими, бравшими изъ конвертера пробы металла и шлака, черезъ каждыя двѣ минуты, и, наконецъ, пятый участникъ работы, производя наблюденія въ спектроскопъ, велъ регистрацію всѣхъ производимыхъ манипуляцій и въ то же время имѣлъ на своей обязанности контрольную сигнализацію, координирующую работу всѣхъ осталъныхъ. Эти наблюденія велись надъ продувкой металла въ одномъ изъ трехъ большихъ конвертеровъ Бессемера, работающихъ на заводѣ и вмѣщающихся каждый въ среднемъ до 12 ton. матеріала. Чугунъ, необходимый для бессемеровскаго цеха, получался изъ миксера, куда онъ въ свою очередь поступалъ изъ доменныхъ печей, работающихъ на извѣстныхъ криворогскихъ рудахъ. Для сужденія объ общемъ содержаніи этихъ рудъ приведемъ ординарный анализъ руды изъ принадлежащаго заводу рудника и находящагося въ Сухой Балкѣ: Fe—65%; SiO₂—4%; Al₂O₃—1,5%; CaO + MnO—0,03%; Ph—0,03%; S—слѣды.

Результаты наблюденій надъ наростаніемъ температуры бессемеровскаго пламени пяти плавокъ дали слѣдующіе результаты:

Таблица № 1.

Время.	Темпера- тура.	Показанія индекса пиromетра.
9 ч. 49 м.	1093°	29
" 51 "	1124°	34
" 53 "	1144°	37
" 54 "	1186°	43
" 55 "	1249°	52
" 57 "	1297°	58
" 58 "	1365°	65
" 59 "	1401°	68
10 ч. — м.	1459°	72
" 2,5 "	1560°	77
" 3,5 "	1635°	80
" 4,5 "	1635°	80
Присадка	ашпи	геля
10 ч. 11 м.	1459°	72
" 12 "	1510°	75
" 13 "	1560°	77

Таблица № 2.

Время.	Темпера- тура.	Показанія индекса пиromетра.
10 ч. 46 м.	1007°	18
" 47,5 "	1093°	29
" 50 "	1172°	41
" 51 "	1214°	47
" 53 "	1315°	60
" 54 "	1365°	65
" 56,5 "	1425°	70
" 57,5 "	1493°	74
Присадка	ашпи	геля
11 ч. 01 м.	1510°	75
" 4 "	1535°	76
" 5 "	1585°	78
" 6,5 "	1610°	79
" 10 "	1610°	79

Таблица № 3.

Время.	Темпера- тура.	Показанія индекса пиromетра.
11 ч. 37 м.	1033°	21
" 39 "	1172°	41
" 40 "	1279°	56
" 41 "	1297°	58
" 42 "	1305°	59
" 43 "	1315°	60
" 45 "	1345°	63
" 46 "	1401°	68
" 48 "	1425°	70
" 49 "	1476°	73
Присадка	ашпи	геля
" 55,5 "	1476°	73
" 56 "	1510°	75
" 57,5 "	1585°	76
12 ч. — м.	1560°	77
" 2 "	1560°	77

Таблица № 4.

Время.	Темпера- тура.	Показаніе индекса пиromетра.
12 ч. 39 м.	10°5°	20
" 40,5 "	1065°	25
" 41,5 "	1112°	32
" 42,5 "	1137°	36
" 43,5 "	1200°	45
" 44,5 "	1220°	49
" 45,5 "	1242°	51
" 46,5 "	1325°	61
" 47,5 "	1389°	67
" 48,5 "	1425°	70
Присадка	шпигеля	
" 54,5 "	1401°	68
" 55 "	1425°	70
" 56 "	1459°	72
" 57 "	1510°	75
" 58 "	1560°	77
" 59 "	1635°	80
1 часъ	1635°	80

Таблица № 5.

Время.	Темпера- тура.	Показаніе индекса пиromетра.
9 ч. 22,5 м.	980°	15
" 23,5 "	989°	16
" 24,5 "	1015°	19
" 25,5 "	1041°	22
" 26,5 "	1072°	26
" 27 "	1093°	29
" 28 "	1124°	34
" 29 "	1179°	42
" 30 "	1200°	45
" 31 "	1315°	60
" 32 "	1335°	62
" 33 "	1423°	70
" 34 "	1459°	72
Присадка	шпигеля	
" 40 "	1442°	71
" 41 "	1459°	72
" 42 "	1493°	74
" 43 "	1510°	75
" 44 "	1585°	78
" 45 "	1635°	80
" 46 "	1585°	78
" 47 "	1560°	77
" 48 "	1560°	77

Съ особенной тщательностью брались изъ конвертера пробы металла. Черезъ каждыя двѣ минуты, съ начала дутья и до конца плавки, изъ середины металлической ванны вынимались пробы специально поставленными опытными рабочими, при чмъ наибольшее вниманіе завѣдуемо

щаго этими операциями экспериментатора было обращено на охлаждение металла. Пробы изъ приемника выливались въ чугунную литьевую форму, все время находящуюся въ умѣренно нагрѣтомъ состояніи. Послѣднее обстоятельство устранило закалку материала и ставило всѣ пробы въ одинаковыя условія охлажденія. Эта предосторожность не замедлила сказаться на послѣдующихъ металлографическихъ изслѣдованіяхъ: изъ всѣхъ шлифовъ только предпослѣдній, представляющей почти уже чистое желѣзо, пришлось подвергнуть нагрѣву въ электрической печи до 900° по С., чтобы послѣдующимъ затѣмъ весьма медленнымъ охлажденіемъ вызвать болѣе контрастную кристаллизацию, разбивъ грубыя зерна желѣза¹⁾.

Изъ собранныхъ, такимъ образомъ, пробъ брались, во-первыхъ, небольшіе куски металла, размѣромъ около $1\frac{1}{4}$ куб. сант. для приготовления изъ нихъ шлифовъ, а во-вторыхъ, строгались мелкія стружки на шепингѣ, въ размѣрѣ отъ 10 до 15 граммъ, для химического анализа. Рѣзецъ станка, идя самоходомъ, строгалъ не только сердцевину излома куска пробы, но также и тѣ части металла, которыя примыкали непосредственно къ его периферіи, не доходя на 1 mm до очертанія, гдѣ уже материалъ покрывался окалиной. Всѣ эти условія должны были имѣть мѣсто потому, что Si обычно содержится въ большемъ количествѣ въ среднихъ частяхъ отливокъ и въ меньшемъ по периферіи, а присутствіе окалины могло бы значительно измѣнить результаты химическихъ изслѣдованій.

Произведенные въ лабораторіи завода анализы пробъ одной изъ пла-
вокъ № 1 дали нижеслѣдующіе результаты.

Чугунъ, загруженный въ конвертеръ имѣлъ составъ:

C—3,69%

Si—1,48%

Mn—0,88%

S—0,05%

Ph—0,104%.

Пробы металла:

Таблица № 6.

Но- мера пробъ	C	Mn	Si	S	Ph
1	4,03	0,60	1,13	0,04	0,11
2	3,67	0,48	1,06	—	—
3	3,65	0,45	0,75	—	—
4	2,57	0,45	0,54	—	—
5	3,35	0,41	0,28	—	—
6	1,80	0,33	0,012	—	—
7	0,40	0,21	0,047	—	—
8	0,10	0,6	0,016	—	—
9	0,41	0,81	0,078	0,034	0,114

Пробы шлаковъ:

Таблица № 7.

Но- мера пробъ	SiO ₂	Al ₂ O ₃	CaO	FeO	MnO
2	62,42	5,71	1,45	13,75	10,49
1	60,74	4,55	1,04	15,81(?)	12,67
3	61,66	4,21	1,87	10,47	14,25
4	64,42	5,27	1,56	10,97	13,61
5	65,50	10,83	0,92	7,84	9,54
6	65,18	7,57	0,80	8,06	14,63
7	64,00	3,26	1,00	10,87	13,98
8	63,24	3,57	1,00	10,82	14,10
9	53,96	6,62	1,45	4,70	23,96

1) Höwe. Желѣзо, сталь и другіе сплавы. 1908. стр. 288.

Помимо этихъ анализовъ въ послѣдствіи, уже въ металлургической лабораторіи Томскаго Технологического Института, пришлось произвести еще рядъ контрольныхъ анализовъ на Si одной изъ плавокъ для получения второй кривой выгоранія этого элемента, но эти результаты будутъ подробно описаны въ главѣ 5, излагающей термохимическую сторону процесса.

3. Діаграмма выгоранія элементовъ южно-русского бессемерованія.

Данныя таблицы № 6, отнесенная по оси времени координатъ, на абсциссѣ которыхъ откладывалось время въ минутахъ, а на ординатахъ процентное содержаніе элементовъ С, Si и Mn даютъ діаграмму, характеризующую южно-русское бессемерованіе (Діаграмма № 5). Разсмотримъ діаграмму въ связи съ тѣми внутренними химическими явленіями процесса, которые зафиксированы ея кривыми. Прежде всего останавливаемъ на себѣ вниманіе фиктивное обогащеніе ванны углеродомъ, столь характерное для англійского бессемерованія и такъ рельефно сказавшееся на полученной діаграммѣ.

Въ первыя двѣ минуты дутья кривая углерода весьма круто поднимается вверхъ, въ то время, какъ кривыя Si и Mn подъ острымъ угломъ идутъ внизъ. Это моментъ энергичнаго шлакообразованія. Температура ванны въ это время еще не достаточно высока, чтобы вывести С изъ его инертнаго состоянія, а потому кислородъ вдуваемаго воздуха окисляетъ главнымъ образомъ Fe, Si и Mn. Весьма обильно образующаяся закись желѣза частью растворяется въ желѣзѣ, частью же вновь восстанавливается Si и Mn, которые и сгораютъ въ SiO_2 и MnO . Поднимаясь вверхъ металлической ванны, въ силу своего меньшаго удѣльнаго вѣса SiO_2 соединяется на своемъ пути то съ FeO , то съ MnO и вслѣдствіе этого всплываетъ на поверхность металла чернымъ кислымъ шлакомъ въ видѣ двукремнеземика желѣза $FeSiO_3$ и въ видѣ двойнаго силиката $3MnO \cdot 2SiO_2$ ¹⁾). Подобное шлакообразованіе дѣлаетъ металлъ бѣднѣе Fe, Si и Mn, а это непосредственно и закрѣпляется ординатой второй минуты діаграммы, констатирующей увеличеніе С съ 3,69 % до 4,03 %.

Вторая минута интересна еще тѣмъ, что является кульминаціонной точкой фиктивнаго обогащенія ванны С, такъ какъ съ дальнѣйшимъ течениемъ операциіи кривая начинаетъ опускаться внизъ. Послѣднее обстоятельство указываетъ на то, что сродство къ кислороду воздуха со стороны С уже достаточно сильно, чтобы началось его выгораніе. Роль восстановителя закиси желѣза постепенно переходить отъ Si и Mn къ С и этотъ моментъ весьма ясно виденъ на третьей и четвертой минутѣ діаграммы: кривая С круто опускается внизъ до своего первоначальнаго уровня, въ то время, какъ кривыя Si и Mn, дѣляясь пологими, указываютъ на замедленное выгораніе этихъ элементовъ.

¹⁾ Проф. Павловъ. Металлургія стали. 1907 г.

Первый периодъ процесса, характеризующійся энергичнымъ шлакообразованіемъ, постепенно уступаетъ мѣсто второму периоду, съ его яркимъ признакомъ—борьбой между углеродомъ и кремніемъ изъ-за кислорода. Съ наростаніемъ температуры, накопляя все большую энергию своего сродства къ кислороду, С легко возстановляетъ закись желѣза и закись марганца, отчего выгораніе ихъ за второй периодъ почти прекращается, что опять таки весьма наглядно утверждается кривая Ми, которая на протяженіи 5, 6, 7, 8, 9 и отчасти 10 минуты идетъ параллельно оси абсциссъ. Это постоянство во второй периодъ процентнаго содержанія въ ванѣ желѣза и марганца даетъ основаніе констатировать въ ней измѣняющуюся концентрацію только двухъ элементовъ—С и Si. Поэтому рафинацію чугуна второго периода бессемеровскаго процесса, на основаніи закона Гульберга и Ваагэ¹⁾ можно разматривать, какъ бимолекулярную реакцію. Скорость теченія этой послѣдней непрерывно измѣняется, а потому въ каждый данный моментъ она есть производная концентраціи W разматриваемой среды по времени t:

$$\frac{dW}{dt}$$

Но такъ какъ скорость реакціи среды сложнаго состава по закону молекулярной концентраціи должна быть пропорціональна концентраціи каждого отдельно вещества, то, обозначая концентрацію въ ванѣ углерода черезъ W_A и кремнія черезъ W_B, находимъ соотвѣтствующее выраженіе, удовлетворяющее указанному выше условію:

$$-\frac{dW}{dt} = K \cdot W_A \cdot W_B^2 \quad (1)$$

Отрицательное значеніе производной взято потому, что съ возрастаніемъ времени концентрація убываетъ. K—есть факторъ пропорціональности, постоянная для данной температуры величина, которая поэтому можетъ быть названа константой реакціи.

Чтобы выяснить химическое значеніе этого фактора, допустимъ, что въ монокулярной реакціи:

$$-\frac{dW}{dt} = KW$$

W=1, тогда

$$K = -\frac{dW}{dt} \quad (2)$$

т. е. K означаетъ скорость для того частнаго случая, когда количество реагирующаго вещества равняется 1 молю (граммъ—молекулъ).

¹⁾ Законъ молекулярной концентраціи. См. новѣйшій труда проф. Чикагскаго университета А. Смита: Введеніе въ неорганическую химію. Выпускъ I, стр. 257. Одесса 1911 г.

²⁾ Проф. Плотниковъ. Физико-химія. Кіевъ.

Разсматривая выражение (1), видимъ, что каждому данному приращению времени должно отвѣтить измѣненіе величины W_A и W_B , при чёмъ, если убываетъ болѣе энергично одна изъ нихъ, то относительно увеличивается другая и обратно.

Возвращаясь къ діаграммѣ № 5, видимъ, какъ эта связь концентрацій растворовъ С и Si въ желѣзѣ рѣзко сказывается на всемъ протяженіи второго періода процесса. Такъ, ордината третьей минуты указываетъ на энергичное выгораніе углерода и единовременно на остановку окисленія Si. Наоборотъ, начиная съ ординаты четвертой минуты С останавливаетъ свое выгораніе, протягивая кривую параллельно оси абсциссъ на протяженіи всей 5 и 6 минуты, тогда какъ кривая Si вновь энергично спускается книзу. Седьмая минута отмѣчаетъ собой начало вторичнаго выгоранія С и нѣкоторый изгибъ кривой Si, указывающей на чувствительность къ этой активности углерода быстроты выгоранія Si. Въ теченіе слѣдующихъ двухъ минутъ, а именно, 8 и 9 въ ваннѣ устанавливается, какъ бы нѣкоторое равновѣсіе въ интенсивности выгоранія этихъ двухъ борющихся другъ съ другомъ элементовъ съ тѣмъ, чтобы послѣ 10 минутъ произошелъ рѣшительный переломъ всего дѣяния до этого времени внутренняго характера процесса. Въ этотъ критическій моментъ С завладѣваетъ кислородомъ и его кривая стремительно падаетъ внизъ, тогда какъ кривая Si особенно послѣ 11 минуты зяло тянется вправо, становясь все болѣе параллельной оси абсциссъ.

Второй періодъ, характеризующійся единовременнымъ, но перемежающейся интенсивности, выгораніемъ С и Si, имѣть съ химической стороны еще одинъ весьма отличительный признакъ, который заключается въ восстановительному дѣйствію С на закись желѣза по реакціи:



Вскорѣ послѣ прохожденія кривыхъ чрезъ десятую минуту, когда большая часть С уже выгорѣла, наступаетъ третій періодъ Бессемеровскаго процесса, самый непродолжительный и характеризующійся появленіемъ въ газообразныхъ продуктахъ горѣнія бурыхъ паровъ FeO¹). Газообразная закись желѣза появляется, какъ результатъ завершающагося рафинированія металла и въ силу этого весьма рѣшительного окисленія Fe кислородомъ дутья. Въ изобилии образующіяся FeO и Fe₂O₃ насыщаются ванну и увлекаемыя газами окружаютъ пламя конвертера бурымъ дымомъ. Дутье, спустя нѣсколько секундъ, послѣ появленія дыма, прекращаютъ и производятъ присадку шпигеля.

Въ изучаемую плавку этого послѣдняго на 677 пудовъ жидкаго чугуна было заброшено въ ванну 45 пудовъ состава: С—4,79%; Si—1,03%; Mn—14,83%; S—0,02%; Ph—0,171%.

По окончаніи загрузки шпигеля, на весьма короткое время, вновьпускаютъ дутье и этотъ завершающійся моментъ процесса является

¹⁾ Проф. Павловъ. Металлургія стали. 1907 г. стр. 44.

четвертымъ его периодомъ. Съ химической стороны послѣдній периодъ рѣзко отличается отъ всѣхъ предыдущихъ. Въ то время, какъ на протяженіи всѣхъ трехъ предшествующихъ периодовъ шло обезуглероживание ванны черезъ выгораніе С, въ четвертый происходитъ обратное: богатая углеродомъ присадка обуглероживаетъ мягкое желѣзо ванны до стали желаемой твердости. Не менѣе крупную роль играетъ и Мн—шпигеля, который является весьма энергичнымъ возстановителемъ, какъ закиси желѣза, растворенной въ металлѣ, такъ и двукремнеземика желѣза, находящагося въ шлакѣ. Это возстановленіе Fe идетъ по реакціямъ:



Таблица № 7 весьма наглядно иллюстрируетъ роль марганца присадки четвертаго периода: восьмая проба шлаковъ даетъ 14,10% MnO, а послѣдняя 9 содержитъ MnO въ количествѣ уже 23,96%.

Со стороны физическихъ явлений бессемерование характеризуется слѣдующими моментами: температурой, спектромъ, цветомъ пламени и звуковыми эффектами.

Въ первый периодъ, когда температура ванны еще не высока, около 1300° и когда спектроскопъ показываетъ только одну желтую линію Na, пламя имѣть красно-желтый отблескъ и сопровождается обилиемъ искръ. Постепенно, съ дальнѣйшимъ ходомъ операциіи происходитъ нарастаніе температуры, пламя свѣтлѣеть, принимая слегка голубоватый отблескъ, при чёмъ короткое въ первый периодъ, оно теперь становится длиннѣе. Спектръ, кромѣ яркой желтой даетъ четыре линіи слабо-зеленыхъ, указывающихъ на начало, болѣе или менѣе, значительного обезуглероживания ванны.

Процессъ, такимъ образомъ, вступаетъ во второй периодъ, температура которого въ среднемъ равна 1400°. Весьма характеренъ для второго периода гремучій звукъ пламени, тогда какъ въ первый периодъ онъ былъ клюкочущій. Къ концу первой половины этого периода цветъ пламени становится ослѣпительно бѣлаго цвѣта, въ спектрѣ помимо ярко-зеленыхъ линій и желтой наблюдается появленіе еще голубыхъ. Второй периодъ самый продолжительный. Третій, наоборотъ, длится всего лишь нѣсколько секундъ и характеризуется, по преимуществу, температурой, поднявшейся уже до 1450—1500° и исчезновеніемъ зеленыхъ линій спектра, указывающихъ на конецъ выгоранія С. Пламя третьаго периода, оставаясь по своему цвѣту все тѣмъ же ослѣпительно-бѣлымъ, быстро укорачивается, окутываясь бурымъ дымомъ отъ газообразной закиси FeO и окиси Fe₂O₃ желѣза. Четвертый периодъ бессемеровскаго процесса отъ третьаго ограничивается искусственно присадкой шпигеля. Отличаясь главнымъ образомъ химической стороной отъ всѣхъ

остальныхъ, этотъ періодъ обладаетъ тѣми же физическими признаками, которыми характеризовался предыдущій, за исключениемъ лишь температуры, поднимающейся до 1600° и болѣе.

Сравнивая діаграмму южно-русскаго бессемерованія съ діаграммами, характеризующими иностранные процессы, видимъ, что она вполнѣ родственна имъ и принадлежитъ къ одной съ ними категоріи. Діаграмма № 5 занимаетъ, какъ бы, промежуточное положеніе между діаграммами англійскаго (№ 1) и американскаго (№ 2) бессемерованія. Дѣйствительно, кривая Si вѣхъ этихъ діаграммъ, весьма энергично выгорающая въ первую половину операции, становится пологой во второй ея стадіи. Кривая Mn, круто спускаясь въ первыя минуты, далѣе тянется параллельно оси абсциссъ, какъ въ американскомъ бессемерованіи, такъ точео въ шведскомъ и въ южно-русскомъ. Выгораніе С въ первую половину процесса, подобно англійской діаграммѣ, обнаруживаетъ фиктивное обогащеніе ванны углеродомъ, тогда какъ вторая половина кривой этого элемента стремительно падаетъ внизъ, какъ это было видно на діаграммѣ американскаго и шведскаго рафинированія. Но наиболѣе индивидуалистично для южно-русскаго бессемерованія—это дуга фиктивнаго обогащенія ванны С, дѣлающаяся всего лишь на протяженіи четырехъ минутъ, въ то время, какъ на англійской діаграммѣ этотъ феноменъ охватываетъ собой семь первыхъ минутъ процесса. Эти характеристическая черты разматриваемыхъ діаграммъ объясняются главнымъ образомъ различнымъ химическимъ составомъ чугуновъ. Во-первыхъ, отношеніе С : S : англійской плавки было 1,58, а южно-русской—2,5, во-вторыхъ, кремнія англійскій чугунъ содержалъ 2,26%, южно-русскій всего лишь 1,48%. Оба эти фактора содѣйствуютъ тому, чтобы англійская діаграмма продлила фазу фиктивнаго обогащенія ванны С, а южно-русская ее сократила и тѣмъ самымъ приблизилась къ діаграммѣ американскаго бессемерованія.

4. Металлографическое изслѣдованіе пробъ плавки.

Изученіе структуры бессемеровскаго металла выразилось въ микроскопическомъ изслѣдованіи 10 шлифовъ пробъ, бравшихся изъ конвертера, черезъ каждыя двѣ минуты, на протяженіи всего процесса. Эти металлографическая наблюденія даютъ интересную и яркую картину генетической модификаціи металла, прошедшаго за періодъ своего рафинированія рядъ стационарныхъ моментовъ.

Сѣрый чугунъ, загруженный въ конвертеръ изъ миксера, подъ влияниемъ нарастающей температуры ванны и химическихъ процессовъ трансформируется въ мягкое желѣзо, измѣняясь въ отдѣльныхъ фазахъ своей рафинаціи, какъ эвтектику, такъ форму и величину выпадающихъ кристалловъ.

Фиг. 1 ($v=100$) изображаетъ собой структуру сѣраго чугуна, загруженнаю въ конвертеръ. На шлифѣ достаточно отчетливо зафиксирова-

но обильное выпадение графита въ видѣ волосовидныхъ побѣговъ, концентрирующихся мѣстами въ паукообразную форму.

Фиг. 2 ($v=100$) представляетъ изъ себя уже строеніе металла, подвергшагося продувкѣ въ конвертерѣ на протяженіи двухъ минутъ. Прежній характеръ структуры, столь характерной для сѣраго чугуна, на этомъ шлифѣ сохраняется лишь въ немногихъ мѣстахъ большими яйцевидными образованіями, которыя съ периферіи пронизываются ярко-блѣмыми иглами цементита (Fe_3C), окруженнаго въ свою очередь губчатой эвтектикой. Обязаны ли своимъ появлениемъ эти большія пятна сѣраго чугуна вторичной кристаллизацией графита, въ силу благопріятныхъ условій охлажденія¹⁾, или же процессъ обѣлѣнія сѣраго чугуна не завершилъ, за это время, цикла своего конституированія, сказать съ увѣренностью нельзя. Этотъ вопросъ въ металлографической литературѣ еще не достаточно разработанъ и не получилъ окончательно установившейся классификаціи. Разсматривая далѣе эвтектику, темной массой разсѣянной между блѣмыми иглами цементита, мы видимъ, что она мѣстами собирается въ весьма значительныя, круговидныя скопленія, часто расположенные въ правильный рядъ, какъ это можно усмотреть съ правой стороны фиг. 2. При увеличеніи въ 1000 разъ (фиг. 3) эвтектика ясно обнаруживаетъ характеръ своего строенія, представляющагося совокупностью смѣшанныхъ (Mischkristalle) мелкихъ овализированныхъ кристалловъ. На фиг. 3 въ центральной части ея помѣщается разѣденный большой блѣлый кристаллъ цементита, въ остовѣ котораго внѣдрились многочисленные эллипсоиды перлита. Нижній квадрантъ правой полуокружности даетъ наиболѣе рельефную картину трансформаціи цементита въ эвтектику, подъ влияніемъ внутренняго термо-химического процесса.

Слѣдующая затѣмъ фиг. 4 ($v=100$) говорить о томъ, какъ площадь занятая эвтектикой все увеличивается, а большія скопленія цементита обнаруживаются крупно-ноздреватое строеніе. При увеличеніи въ 1000 разъ (фиг. 5) эта пористая структура, въ темныхъ своихъ мѣстахъ, состоитъ изъ пластинчатаго перлита, который наиболѣе хорошо видѣнъ въ большой темной полосѣ эвтектики, расположенной въ правой полуокружности снимка. Шлифъ второй пробы (фиг. 4) интересенъ еще тѣмъ, что въ некоторыхъ темныхъ пятнахъ эвтектики, по линии соприкосновенія ихъ съ блѣмыми кристаллами цементита, проявляется свѣтло-сѣрую, дымчатую среду, представляющую изъ себя какъ бы переходную стадію отъ цементита къ перлиту. Эта туманно представлена эвтектика видна достаточно ясно въ нижнемъ квадрантѣ лѣвой полуокружности фиг. 4.

Фиг. 6 ($v=100$) представляетъ собою снимокъ, сдѣланнй со шлифа предыдущей пробы второй (фиг. 4 и 5), но протравленный пикра-

¹⁾ P. Goerens und N. Gutowsky. Experimentelle Studie über den Erstarrungs- und Schmelzvorgang bei Reichen. Metallurgie, 1908, Heft 5.

томъ калія. Въ противоположность предыдущей травкѣ (слабая NO_3H), перлитъ на фиг. 6 окрашенъ въ бѣлый цвѣтъ, а цементитъ въ темно-сѣрий. На снимкѣ изображены два большихъ бѣлыхъ ядра перлита, въ достаточной степени замѣтно проявляющаго свое пластинчатое строение. Но наиболѣе рельефна структура перлита на третьемъ нѣсколько сѣроватомъ ядрѣ, продолговатой формы, находящемся въ нижнемъ квадрантѣ правой полуокружности. Всѣ эти три образованія перлита окружены темной каймой, отдѣляющей ихъ отъ цементита. Въ такой же темной консистенціи, какъ-бы, плаваютъ и болѣе мелкія вкрапленія перлита, разсѣянныя по массиву цементита.

Фиг. 7 является тѣмъ же шлифомъ (фиг. 6), но только съ него снять крокусомъ на сукнѣ верхній окрашенный никраторомъ калія слой проравы. Препарированный, такимъ образомъ, шлифъ обнаруживаетъ весьма наглядно рельефъ своей структуры. Верхній выпуклый контуръ снимка ограничиваетъ собой цементитъ, вторая болѣе низкая поверхность проявляетъ несомнѣнныи характеръ перлита, пластинчатая структура которого еще не втолнѣ уничтожена нѣжной шлифовкой и, наконецъ, темные мѣста снимка, лежащія на третьемъ самомъ нижнемъ уровѣ представляютъ изъ себя промежуточную эвтектику, растворяющую никраторомъ калія. Темная на фиг. 7, черная на фиг. 6 и свѣтло-дымчатая на фиг. 4 эвтектика есть ничто иное, какъ силико-карбидъ желѣза. Эта термолекулярная эвтектика наиболѣе обильно образуется въ структурѣ третьей пробы бессемеровскаго металла (фиг. 8), отвѣчающаго шестой минутѣ процесса, когда Si выгораетъ наиболѣе энергично. На фиг. 8 въ нижней половинѣ диска наблюдается значительное количество термолекулярной эвтектики, какъ и на фиг. 4, представляющейся дымчато-блѣловатой средой въ сферѣ темныхъ образованій бимолекулярной эвтектики (цементитъ, ферритъ). При увеличеніи шлифа въ 1000 разъ (фиг. 9) особенно демонстративно выступаетъ эта термолекулярная эвтектика. Такъ, въ нижнемъ квадрантѣ лѣвой полуокружности, лѣвѣе мощнаго выпаденія цементита можно видѣть два небольшихъ, блѣловатыхъ кристаллика, окруженныхъ дымчатой массой термолекулярной эвтектики. Болѣшую же часть снимка занимаетъ перлитъ, окрашенный въ темно-сѣрий цвѣтъ.

Фиг. 10 ($v=1000$) точно такж обнаруживаетъ присутствіе термолекулярной эвтектики, которая окружаетъ здѣсь небольшой блѣлый кристалль, находящійся въ области большого, нѣсколько неправильной формы диска бимолекулярной эвтектики (верхній квадрантъ лѣвой полуокружности), окруженной въ свою очередь массивомъ ноздреватаго цементита.

То, что блѣловатая, дымчатая масса есть термолекулярная эвтектика, состоящая изъ силико-карбида желѣза утверждаютъ слѣдующіе аргументы.

Въ классической работе проф. F. Wüst'a и L. Laval'я—Experimentelle Untersuchung des Thomasprocesses¹⁾—авторы, между прочимъ, говорятъ слѣдующее: „Ob auch das Eisencarbid etwas Silicium enthalten kann, ist nicht mit Sicherheit nachgewiesen, doch erscheint die Existenz eines Eisensilicocarbides nicht unmöglich“.

Нѣсколько нерѣшительный тонъ этой цитаты не оправдываютъ имѣющіяся у нась экспериментальнаяя справки. Во-первыхъ, возвращаясь къ діаграммѣ № 5, мы видимъ, что проба металла № 3, шлифъ которой только что былъ нами разсмотрѣнъ въ фиг. 8, 9, и 10, отвѣчаетъ ординатѣ шестой минуты процесса, когда С и Mn останавливаютъ свое выгораніе, протягивая соотвѣтствующія кривыя параллельно оси абсцисса, кривая же Si въ это время даетъ крутой спускъ внизъ, указывая на энергичное его выгораніе. Слѣдовательно, вліяніе кремнія неизбѣжно должно было сказаться на структурѣ металла, при инертности С и Mn. Увеличеніе въ перлитѣ дымчато-блѣловатой массы и фиксируетъ собой эту активность Si. Во-вторыхъ, пикратъ калія, достаточно хорошо растворяя въ себѣ Si, даетъ рельефъ (фиг. 7), на которомъ темныя мѣста находятся на самомъ нижнемъ уровнѣ и, такимъ образомъ, указываетъ на присутствіе въ нихъ кремнія¹⁾.

Фиг. 11 ($v=100$) изображаетъ собой структуру пятой пробы металла. Темная площадь бимолекулярной эвтектики значительно увеличилась по сравненію съ предыдущими снимками и это ясно указываетъ, что процессъ обезуглероживанія металла идетъ полнымъ ходомъ. Бѣлыя кристаллы цементита теперь теряютъ губчатое строеніе и конституируются въ тонкую, но плотную сѣтку. Термолекулярной эвтектики остается самое ничтожное количество, что вполнѣ гармонируетъ съ діаграммой южно-русскаго бессемерованія, кривая Si которой указываетъ, что этого элемента въ ваннѣ становится уже весьма немного.

Фиг. 12 ($v=100$) интересна своею красивой и оригинальной кристаллизацией цементита. Послѣдняго остается уже немного и онъ выпадаетъ въ двухъ разновидностяхъ: неправильныхъ, продолговатыхъ кристаллахъ съ весьма изрѣзанной конфигураціей и въ видѣ правильныхъ, тонкихъ, игольчатыхъ образованій. Черныя пятна, окружающія собой ядра цементита представляютъ изъ себя сорбитъ. Все же остальное пространство сѣроватаго оттѣнка заполнено однородной бимолекулярной эвтектикой.

Фиг. 13 носить, по своей структурѣ, явный характеръ эвтектоидной стали. Этотъ шлифъ стоитъ, какъ-бы на грани, раздѣляющей собою кристаллизацию цементита и феррита. Въ неясныхъ, продолговато-блѣлыхъ скопленіяхъ уже намѣчаются контуръ феррита, который на фиг. 14 слѣдующей пробы выпадаетъ мощной сѣткой. Процессъ обезуглероживанія подходитъ къ своему концу и на фиг. 15 мы встрѣчаемъ весьма

¹⁾ Metallurgie, 1908, Heft 15.

²⁾ Пикрѣ находился въ кипящемъ растворѣ пикрата калія въ продолженіи 20 минутъ.

характерную структуру желѣза. Углерода въ металлѣ, какъ это видно изъ діаграммы № 5, остается лишь ничтожное количество.

Наконецъ, фиг. 16 даетъ намъ строеніе уже готоваго материала. По мелкой структурѣ шлифа, въ которой раздробленные, бѣлые ядра феррита чередуются съ темными скопленіями перлита, мы можемъ судить о характерѣ полученной рельсовой стали.

5. Термо-химическая сторона процесса.

Пирометрическія наблюденія, приведенные во второй главѣ этой работы, будучи координированы въ систему, по ординатѣ которой наносится температура, а по абсциссѣ время, даютъ картину нарастанія температуры бессемеровской ванны. Кривыя, полученные такимъ образомъ, говорятъ о томъ, что температура металла все время безостановочно повышается, проявляя при этомъ весьма своеобразныя колебанія.

Однако, возможно ли отождествлять эти кривыя температуръ, даныя для которыхъ были собраны фотометрическими наблюденіями пирометра Wanner'a надъ пламенемъ бессемеровскаго конвертера въ періодъ плавки, съ тѣми дѣйствительными температурами, которыми обладалъ въ соответствующіе моменты рафинируемый металлъ? Начальные точки оказывается ниже точекъ плавленія чугуна. Процессъ окисленія въ начальной стадіи совершаются цѣликомъ внутри металлической ванны; выдѣляющееся въ значительномъ количествѣ тепло отъ горѣнія Si и Mn идетъ на разогрѣвъ металла, С, какъ это было выяснено выше, почти не выгораетъ, въ силу чего въ продуктахъ горѣнія констистируется весьма незначительное содержаніе CO_2 , но зато въ пламени за это время максимальное процентное содержаніе азота¹⁾ и максимальное содержаніе свободного кислорода, достигающее 50%²⁾. Всѣ эти факторы естественно вліяютъ на отставаніе температуры пламени отъ температуры металла. Тѣмъ не менѣе, кривая температуръ пламени разсматриваемаго періода эквидистантна дѣйствительной кривой нарастанія температуры металла и, такимъ образомъ, даетъ несомнѣнно параллельную картину тепловыхъ эффектовъ самой ванны.

Съ дальнѣйшимъ ходомъ операций процессъ окисленія идетъ все энергичнѣе, температура повышается, въ продуктахъ горѣнія наблюдалось значительное появленіе CO_2 (съ 0,85 до 9,1 черезъ 5 минутъ отъ начала дутья по объему¹⁾), неиспользованного кислорода становится все менѣе (съ 14,3 до 0,18 по объему за тѣ же 5 минутъ) и горѣніе, происходящее въ металлѣ, на цѣло тамъ не завершается, но часть оканчивается уже въ области пламени. Температура послѣдняго и ванны становятся тождественными за весь второй и третій періодъ дутья, при чёмъ

¹⁾ Проф. Павловъ. Металлургія стали стр. 40.

²⁾ Журналъ Русскаго Металлургическаго Общества № 2, за 1910 г. Статья кап. Давыдова «Изслѣдованіе нѣкоторыхъ явлений при бессемеровачіи съ поверхностнымъ дутьемъ».

³⁾ Журналъ Русскаго Металлург. Общества, 1910 г., № 2, стр. 48.

въ послѣднія минуты есть основаніе предполагать, что температура пламени даже немного выше температуры ванны, въ силу того, что, благодаря дурной реакціи и всплескамъ металла, значительный % частицъ газообразнаго горючаго механически выносится струею дутья вонъ изъ ванны и онъ сгораютъ уже въ конвертера²).

Выстроивъ кривую температуръ плавки № 1, намъ пришлось обратить вниманіе на поразительную связь и гармоничность въ колебаніяхъ между полученной кривой наростанія температуры и кривой выгоранія кремнія, соответствующей діаграммъ № 5. Хотя a priori и нужно было предполагать большую связь между этими двумя кривыми, такъ какъ главнѣйшимъ агентомъ тепла въ процессѣ Бессемера является Si, но полученные результаты, при нанесеніи обѣихъ кривыхъ на общую координатную систему съ однимъ и тѣмъ же масштабомъ, превзошли ожиданія теоретическихъ предпосылокъ.

Дѣйствительно, на діаграммѣ № 6 весьма наглядно усматривается эта взаимная зависимость кривыхъ. Какъ та, такъ и другая имѣютъ видъ убывающихъ синусоидъ, при чёмъ кривая T идетъ вверхъ, а кривая Si обратно внизъ.

Обѣ кривыя состоять изъ фазъ, обращенныхъ то выпуклостью, то вогнутостью по оси абсциссъ. Фазы кривыхъ соответственно гармоничны другъ другу въ обратно-пропорціональномъ отношеніи: если фаза кривой наростанія температуры выпукла по отношенію къ оси абсциссъ, то соответствующая ей по времени фаза кривой выгоранія кремнія вогнута. На протяженіи первыхъ трехъ минутъ кривая T выпукла по оси абсциссъ, кривая же Si вогнута. Ординаты третьей минуты даютъ точки перегиба на обѣихъ кривыхъ: Кривая T теперь уже становится вогнутой, а кривая Si выпуклой къ оси абсциссъ. Эта вторая фаза длится до ординаты 5½ минуты, гдѣ обѣ кривыя, перейдя вновь единовременно точку перегиба, измѣняютъ характеръ своей кривизны.

Далѣе отмѣтимъ точки ординатъ 8½, минуты, 10 и 12½, въ которыхъ кривыя вновь перемѣняютъ свои кривизны по отношенію къ оси абсциссъ.

Этоъ волнообразный характеръ кривыхъ является весьма яркой иллюстраціей того внутренняго термохимического процесса, который проходитъ въ ваннѣ и который указываетъ на борьбу между Si и C изъ-за кислорода, слѣдствіемъ чего и являются колебанія въ наростаніи температуры. Не менѣе подтвержденіе въ этихъ кривыхъ получаетъ и законъ молекулярной концентраціи, теоретически обосновывающій тотъ своеобразный и закономѣрный процессъ, который цементируетъ въ одинъ стройный, цѣльный комплексъ три главнѣйшихъ агента бессемерованія: температуру, скорость выгоранія Si и скорость выгоранія C.

¹⁾ И. В. Ричардсъ. Расчеты по металлургіи. Часть спеціальная. Ст. 91—92. Изд. 1909 г. Авторъ на этихъ страницахъ говоритъ слѣдующее: „Температура газовъ почти та же, что и металлической ванны. Лучше всего конечно опредѣлять температуру газовъ непосредственно пиromетромъ у самаго выхода ихъ изъ конвертера“.

Въ силу того, что наростаніе температуры въ рассматриваемомъ процессѣ, за второй и третій періодъ его, зависить всецѣло отъ скорости выгоранія кремнія, а этотъ послѣдній въ свою очередь обнаруживаетъ зависимость чрезъ температуру отъ скорости выгоранія С, мы имѣемъ возможность усматривать нѣкоторую функциональную связь въ этихъ явленіяхъ.

Обозначая черезъ V скорость выгоранія Si, а черезъ W скорость наростанія температуры бессемеровской ванны, имѣемъ, что

$$w = f(v) \text{ и } v = \varphi(w) \quad (6)$$

Подставляя первое во второе, находимъ

$$w = f[\varphi(w)]$$

Продифференцируемъ полученное выражение

$$w' = \{f[\varphi(w)]\}'$$

$$1 = f'(v) \cdot \varphi'(w)$$

или

$$\varphi'(w) = \frac{1}{f'(v)} \quad (7)$$

Послѣднее выражение есть свойство обратныхъ функций, утверждающее, что производная обратной функции равна обратному значению производной прямой функции. Такимъ образомъ, свойство кривыхъ діаграммы № 6, устанавливающее гармоничность ихъ фазъ другъ къ другу въ обратно-пропорциональномъ отношеніи, подтверждается и уравнениемъ 7.

Желаніе лишить подмѣченное свойство кривыхъ наростанія температуры и выгоранія кремнія случайного элемента явилось причиной новыхъ анализовъ на кремній одной изъ слѣдующихъ плавокъ для получения контрольной кривой.

Съ этой цѣлью пробы металла плавокъ № 3 были подвергнуты анализу на опредѣленіе въ нихъ процентнаго содержанія Si. Въ виду существеннаго значенія контрольной кривой, будетъ умѣстнымъ вкратцѣ изложить здѣсь методъ опредѣленія, при помощи котораго производились анализы пробъ плавки № 3 уже въ металлургической лабораторіи Томскаго Технологического Института.

Навѣска металла бралась въ 1 граммъ, которая и растворялась въ 30 куб. сантиметровъ крѣпкой соляной кислоты (1,19). Послѣ достаточнаго растворенія металла и выпариванія HCl на песочной банѣ, къ раствору прибавляютъ 5 куб. сант. крѣпкой сѣрной кислоты, разведенной въ 5 куб. сант. дистиллированной воды. Вторичное выпаривание на пе-

сочнай банѣ длилось до полной сухости осадка и до возможнаго ослабленія выдѣляющихся бѣлыхъ паровъ SO_3 .

По остываніи стакана, вновь прибавлялось 15 куб. сант. HCl и двойное количество воды. Подогрѣтый растворъ, послѣ легкаго вскипанія, фильтруютъ. Остатокъ смываютъ въ фильтръ подогрѣтой соляной кислотой (1 : 2).

Далѣе фильтръ промываютъ до исчезновенія реакціи на желѣзо (по пробѣ роданистымъ аммоніемъ). Послѣ этой операциіи, осадокъ вмѣстѣ съ фильтромъ, немного подсушивъ, сжигаютъ въ платиновомъ тиглѣ до получения синѣжно-бѣлой SiO_2 . Послѣднюю взвѣшиваютъ и вычисляютъ кремній.

Произведенныя, такимъ образомъ, анализы пробъ плавки № 3 дали слѣдующіе результаты:

Таблица № 8.

Номера плавки.	Процентное содержание Si.
0	1,38
1	0,97
2	0,78 (?)
3	0,70
4	0,42
5	0,13
6	0,05

Нанеся на одну и ту же систему координатъ данныя таблицы № 3 и № 8, получаемъ діаграмму № 7 съ двумя кривыми: температуры и кремнія. Эта контрольная діаграмма, съ первого же взгляда на нее, обнаруживаетъ полную аналогію съ предыдущей (№ 6), подчеркивая не менѣе рѣшительно тѣ же колебанія фазъ и ту же функціональную зависимость, которая была констатирована выше.

Дѣйствительно, въ первыя двѣ минуты отъ начала дутья кривая T вогнута къ оси абсциссъ, а кривая Si выпукла. Ординаты второй минуты даютъ единовременно точки перегиба для обѣихъ кривыхъ, которыхъ измѣняютъ свою кривизну, длящуюся до пятой минуты, гдѣ вновь наблюдается точка перегиба, какъ на той, такъ и на другой кривой. Слѣдующія фазы кривыхъ ограничиваются точками перегиба ординатъ въ $10^1/3$ минуты.

На 12 минутѣ произведена присадка штигеля. Для полученія контрольной кривой были выбраны пробы третьей плавки потому, что кривая температуръ этой послѣдней даетъ наибольшую амплитуду колебаній, убывающихъ фазъ, а, слѣдовательно, и кривая выгоранія Si *reulant* должна была проявить наибольшую волнобразность.

Итакъ, формулируя открытые выше свойства кривыхъ діаграммъ № 6 и № 7, мы получаемъ слѣдующія три положенія:

- а) Подъемъ кривой наростанія температуры бессемеровской ванны пропорціоналенъ скорости выгоранія кремнія;
- б) Фазы колебаній кривой выгоранія кремнія гармоничны въ обратно-пропорціональному отношеніи колебаніямъ соотвѣтственныхъ фазъ кривой наростанія температуры;
- с) Точки перегиба кривыхъ T и Si совпадаютъ на ординатахъ по времени.

Кромъ этихъ особенностей излучаемыхъ кривыхъ, онъ обладаютъ еще однимъ весьма интереснымъ свойствомъ. Такъ, при разсмотрѣніи контролльной діаграммы № 7, была обнаружена тенденція ординать кривыхъ сохранять въ суммѣ одну и ту же постоянную величину за весь второй и третій періодъ процесса. Если обозначимъ ординату кривой наростанія температуры черезъ l_1 , а ординату кривой выгоранія кремнія черезъ l_2 , то изъ діаграммы № 7 имѣемъ въ сантиметрахъ:

$$\begin{aligned} l_1^{III} + l_2^{III} &= 6,6 \\ l_1^{IV} + l_2^{IV} &= 6,7 \\ l_1^V + l_2^V &= 6,8 \\ l_1^{VI} + l_2^{VI} &= 6,7 \\ l_1^{VII} + l_2^{VII} &= 6,6 \\ l_1^{VIII} + l_2^{VIII} &= 6,5 \\ l_1^IX + l_2^IX &= 6,7 \\ l_1^X + l_2^X &= 6,7 \\ l_1^{XI} + l_2^{XI} &= 6,7 \end{aligned}$$

Обобщая, находимъ:

$$l_1^i + l_2^i = \text{Constans} \quad (9)$$

Діаграмма № 6, хтія и проявляеть ту же тенденцію кривыхъ: сохранять постоянство суммы своихъ ординатъ, но нѣсколько въ меньшихъ размѣрахъ. Къ сожалѣнію, ограничение излагаемаго изслѣдованія рамками дипломной работы не позволило болѣе детально остановиться на разработкѣ подмѣченныхъ свойствъ сопоставляемыхъ кривыхъ, а въ особенности на доказательствѣ уравненія 9. Между тѣмъ, если дальнѣйшія изслѣдованія подтверджатъ справедливость намѣченныхъ положеній, то изъ области теоретической вопросъ можетъ быть перенесенъ уже въ сферу практической металлургіи и реализованъ заводской практикой. Дѣло въ томъ, что уравненіе 9 даетъ идею опредѣлять % содержаніе Si въ ваннѣ немедленно пирометрическимъ путемъ, минуя химіческий анализъ: зная температуру въ данный моментъ процесса, а слѣдовательно, и ординату ея въ соотвѣтствующемъ масштабѣ, возможно по заранѣе составленнымъ таблицамъ узнавать и % содержаніе въ ваннѣ Si.

Разсмотримъ теперь совмѣстно всѣ имѣющіяся пирометрическія наблюденія, внесенные въ таблицы второй главы и охватившія собой

пять бессемеровскихъ плавокъ. Нанеся съ этою цѣлью данные таблицъ № 1, № 2, № 3, № 4, и № 5 на общую систему координатъ, получаемъ пять кривыхъ діаграммъ № 8.

Кривыя первыхъ четырехъ плавокъ идутъ переплетающимися лучами пучка и лишь кривая плавки № 5 проявляетъ иѣкоторое отклоненіе отъ общаго характера остальныхъ. Пунктирныя линіи, обрывающія кривыя, изображаютъ собой присадку штигеля. Какъ видно изъ діаграммы, ванна понижаетъ температуру за время остановки дутья для присадки на самую ничтожную величину, за исключеніемъ плавки № 1, въ которой температура понизилась на 170° . Этотъ скачокъ температуры объясняется тѣмъ, что процессъ этой плавки былъ искусственно продленъ иѣсколько дольше, чѣмъ это дѣжалось обычно, съ тою цѣлью, чтобы дать полную картину выгоранія элементовъ. Значительная температура, достигшая 1635° естественно содѣйствовала болѣе энергичному охлажденію ванны, чѣмъ при ординарныхъ плавкахъ, съ температурой момента присадки всего лишь около 1480° (№ 2 и № 3).

Кривыя наростаній температуръ бессемеровскихъ плавокъ, нанесенные такимъ образомъ на общую координатную систему, проявили весьма интересную особенность—пересѣкаться въ одной точкѣ, соотвѣтствующей ординатѣ $10^{1/3}$ минуты отъ начала процесса. Исключение представила собой лишь кривая плавки № 5 и тѣмъ самымъ, какъ бы, обнаружила иѣкоторую аномалию. Дѣйствительно, начальный моментъ этой плавки даетъ самую низкую температуру изъ всѣхъ рассматриваемыхъ пяти кривыхъ. Процессъ идетъ стыдымъ ходомъ и не смотря на то, что кривая съ 9 минуты, точно подчиняясь общему закону кривыхъ температуръ пересѣкаться въ одной точкѣ, обнаруживаетъ значительное усиленіе подняться вверхъ, тѣмъ не менѣе, проходитъ значительно правѣе общаго пункта пересѣченій.

Проведя абсциссу общаго скрещенія кривыхъ, узнаемъ, что эта точка соответствуетъ 1420° по С.

Чѣмъ же особыннымъ характеризуется этотъ моментъ со стороны внутреннихъ термо-химическихъ явлений? Для выясненія этого вопроса обратимся къ діаграммѣ № 5 выгоранія элементовъ. Ордината рассматриваемой точки, имѣющей свою абсциссой время равное $10^{1/3}$ минуту, отмѣчается на этой діаграммѣ тотъ рѣшительный моментъ второго періода процесса, когда дѣлящаяся до сихъ поръ напряженная борьба между С и Si изъ за кислорода оканчивается въ пользу первого элемента. Кривая углерода съ этого момента стремительно спускается внизъ, а кривая Si, оканчивая свое энергичное выгораніе, медленно начинаетъ тянуться параллельно оси абсциссъ.

Въ этомъ пунктѣ мы имѣемъ дѣло, какъ бы, съ рѣшающимъ моментомъ плавки и естественно будетъ предложитъ наименовать пересѣченіе

ние кривыхъ температуръ различныхъ плавокъ—точкой кризиса бес-семеровскаго процесса¹⁾.

Кривая температуръ плавки № 5, не пройдя точку кризиса процесса, тѣмъ самымъ подтверждается, а не отрицаєтъ наличности этого критического момента въ плавкѣ Бессемера. Дѣйствительно, изъ протоколовъ наблюдений усматривается, что при началѣ дуття мастеръ, ведущій плавку, загрузилъ значительное количество скрапа, въ виду нѣсколько большаго % содержанія Si въ поданномъ чугунѣ, чѣмъ это было раньшѣ, желая тѣмъ самымъ не допустить слишкомъ горячаго хоба. Но оказалось, что эта предосторожность была излишней и явилась причиной обратнаго явленія: плавка стала холодной до присадки, а послѣ нея кривая обнаруживаетъ высокое поднятіе температуры, достигающей 1635° . Точно такую же картину сильнаго повышенія температуры послѣ присадки показываетъ и кривая плавки № 4, шпигель которой былъ загруженъ нѣсколько рано: кривая не прошла еще критической точки.

Зато плавки № 2 и № 3 нужно признать вполнѣ нормальными и удачно проведенными. Какъ показываются ихъ кривыя температуръ, присадка была произведена, спустя $1\frac{1}{2}$ —2 минуты по прохожденіи ими точки кризиса, т. е. въ тотъ моментъ, когда Si и C въ ваннѣ уже закончили свое энергичное выгораніе и присутствіе ихъ въ металлѣ не превышаетъ—перваго сотыхъ долей процента, а второго—десятыхъ. Въ силу этого происходитъ спокойное повышеніе температуры, послѣ введенія шпигеля, и кривыя даютъ максимальную температуру въ предѣлахъ отъ 1560° до 1610° .

Матеріалъ проведенныхъ по такой схемѣ плавокъ является вполнѣ доброкачественнымъ, какъ то обнаруживаются испытанія на разрывъ механической лабораторіи, давшей нижеслѣдующіе результаты:

Таблица № 9.

№ плавки.	Развивающ. грузъ въ kkg.	Удлиненіе.
2	78	11
3	73	13

Діаграмма № 8 обращаетъ на себя вниманіе еще однимъ весьма любопытнымъ явленіемъ. Это послѣднее заключается въ томъ, что кривыя наростанія температуръ, при концѣ процесса, обнаруживаютъ остановку и на нѣкоторое время даютъ горизонтальныя прямые.

¹⁾ Авторъ считаетъ далеко не достаточными тѣ эксперименты, на основаніи которыхъ была констатирована точка кризиса. Поэтому, этотъ вопросъ ставится имъ не въ формѣ утвержденія, а лишь предложенія.

Такъ, кривая плавки № 3 горизонтальна на протяженіи 23 и 24 минуты, кривая № 2 горизонтальна во вторую половину 21 минуты и всей 23 и 24, кривая № 4 горизонтальна во время 21 минуты и № 1 на протяженіи половины 15 и 16 минуты. Въ эти періоды металлъ въ ваннѣ точно кипитъ, оставляя постоянной свою температуру.

Является ли эта стадія конца процесса естественнымъ и желательнымъ выходомъ металла, сказать за отсутствиемъ болѣе обширныхъ экспериментальныхъ данныхъ, нельзя. На этотъ вопросъ могутъ отвѣтить дальнѣйшія опытныя данныя механической и металлографической лабораторій, рисующихъ картину, какъ степени сопротивляемости материала разрушающими усилиями, такъ и структурныхъ формоизмѣненій металла и характера его кристаллизациі.

Обращаясь къ діаграммамъ иностранныхъ процессовъ Бессемера, приведенныхъ въ 1 главѣ работы, мы можемъ видѣть, по характеру кривыхъ, въ какой моментъ эти плавки проходятъ свою точку кризиса. Самое раннѣе прохожденіе даетъ шведское бессемерованіе (діаграмма № 3); точка кризиса котораго лежить на ординатѣ второй минуты и этотъ послѣдній моментъ является наиболѣе характеристичнымъ для шведского процесса.

Американская діаграмма (№ 3) выгоранія элементовъ говоритъ, что точка кризиса ея кривой температуры должна находиться между 3 и 4 минутой отъ начала дутья. Англійскій процессъ проходитъ точку своего кризиса между 7 и 8 минутой. Что же касается Уральскаго бессемерованія, то оно совершенно не обладаетъ этимъ характернымъ моментомъ бессемеровскаго процесса, и точка кризиса здѣсь отсутствуетъ.

6. Заключеніе.

Концентрируя всѣ экспериментальные данныя, характеризующія собой химическія и физическія явленія бессемеровскаго процесса, въ одну схему, мы получаемъ слѣдующую таблицу (см. стр. 23).

Изъ всего вышеизложеннаго усматривается, что термическій факторъ въ бессемеровскомъ процессѣ играетъ кардинальную роль, вліяя рѣшительно на всѣ его физическія и химическія явленія.

Кривая наростанія температуры находится въ тѣсной органической связи со скоростью выгоранія кремнія, проявляя закономѣрную, функциональную зависимость по отношенію къ этой послѣдней.

Металлографическія изслѣдованія подтверждаютъ выводы термо-химического анализа. Значеніе пиromетрическихъ контрольныхъ наблюдений, поэтому, при бессемеровской плавкѣ становится вѣнѣ сомнѣнія.

Ни личный многолѣтній опытъ, ни спектроскопическія наблюденія, ни цвѣтъ и характеръ пламени не могутъ дать въ любой моментъ процесса ту дѣйствительную картину совершающихся внутри ванны термо-химическихъ превращеній, которую вскрываетъ пирометръ.

Таблица № 10.

Периоды	Общая характеристика периолов.	Химическая явления.	Температура	Спектръ.	Цвѣтъ пла- мені.	Микрострук- тура.	Звуковыя явленія.
I	Шлакообразование.	FeO; MnO; SiO ₂ ; FeSiO ₃ ; 3 MnO. 2 SiO ₂	1300°	Слабая жел- тая линія.	Красножел- тый.	Графитъ; Цементитъ; Перлитъ;	Звукъ пламе- ни клюкочущій.
II	Обезуглероживание.	FeO+C=Fe+CO	1400°	Яркая желтая, 4 зеленых и голубых линій.	Голубоватый.	Цементитъ. Перлитъ.	Звукъ пла- мени гремучий.
III	Обезуглероживание.	FeO и Fe ₂ O ₃ —газо- образный.	1450°	Яркая жел- тая.	Остѣнитель- но-блѣдый.	Перлитъ; Ферритъ.	Звукъ пла- мени спокойнѣе.
IV	Обуглероживание.	FeO+Mn=Fe+MnO FeSiO ₃ +Mn=Fe+ +MnSiO ₃	1600°	Желтая.	Остѣнитель- но-блѣдый.	Перлитъ; Ферритъ.	Звукъ пла- мени шумящий.

Его показанія относятся ко всѣмъ выше перечисленнымъ способамъ опредѣленія момента присадки и конца рафиниаціи металла, какъ объективный критерій относится къ субъективнымъ оцѣнкамъ.

Въ каждомъ рационально оборудованномъ металлургическомъ заводѣ при бессемеровскихъ конвертерахъ должно быть по пиromетру, какъ ихъ неизбѣжному спутнику.

Въ заключеніе этой работы, можемъ сказать, что какъ личный весьма скромный опытъ, такъ въ наибольшей степени изслѣдованіе послѣднихъ лѣтъ по бессемерованію и томасированію иностранныхъ¹⁾ и русскихъ²⁾ экспериментаторовъ говорятъ о томъ, что техника далеко еще не взяла отъ патента Бессемера того, что онъ можетъ дать.

1911 г. Мартъ.

Л. Красинъ.

¹⁾ Wüst, Howe, Campbell, Wiborgh, Le-Chatelier, Laval, Hartig, Shelby и др.
²⁾ Павловъ, Вейнбергъ, Давыдовъ и др.

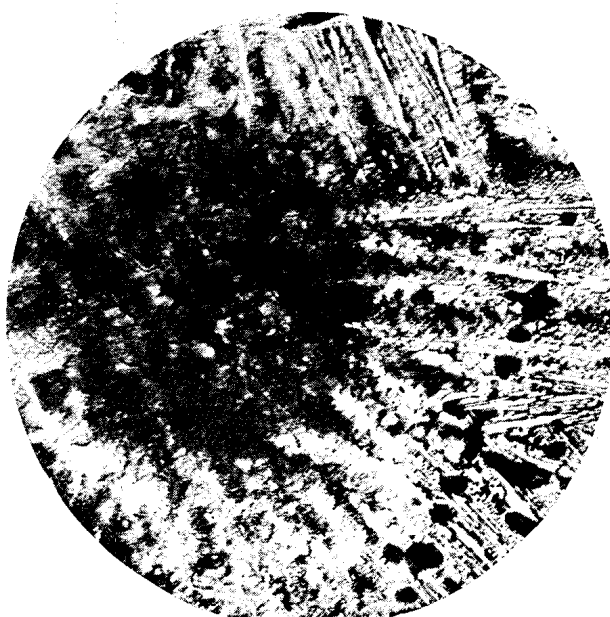
Табл. I.

Къ статьѣ Л. Красина.



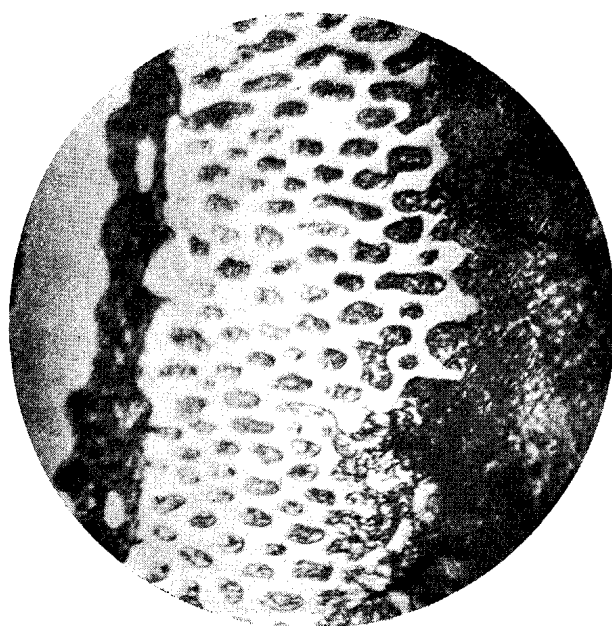
Фиг. 1,

$v=100$



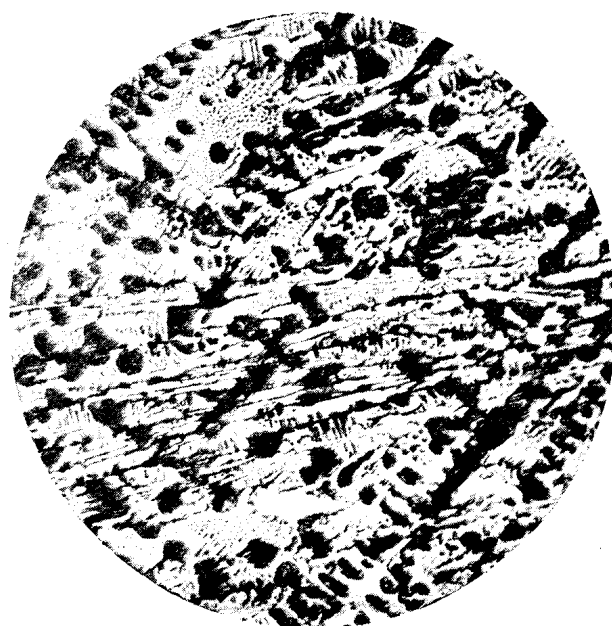
Фиг. 2.

$v=100$



Фиг. 3.

$v=1000$

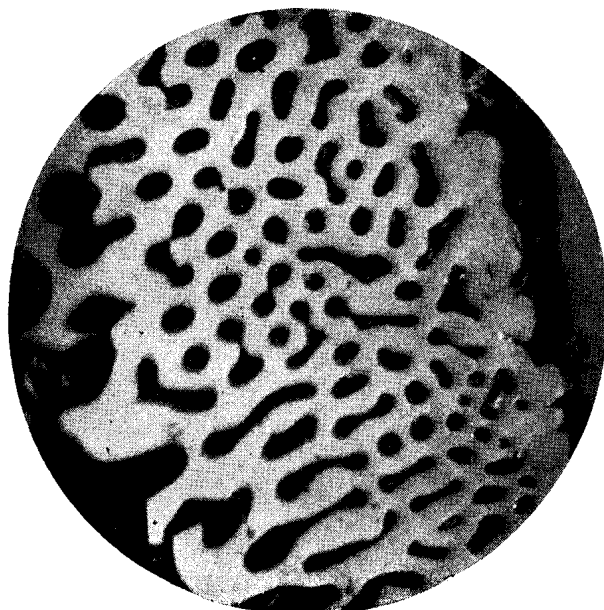


Фиг. 4.

$v=100$

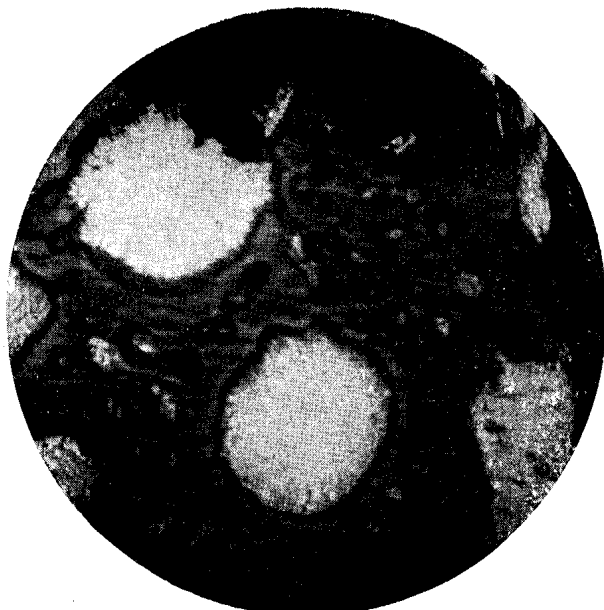
Табл. II.

Къ статьѣ Л. Красина.



Фиг. 5.

$v=1000$



Фиг. 6.

$v=1000$



Фиг. 7.

$v=1000$



Фиг. 8.

$v=100$

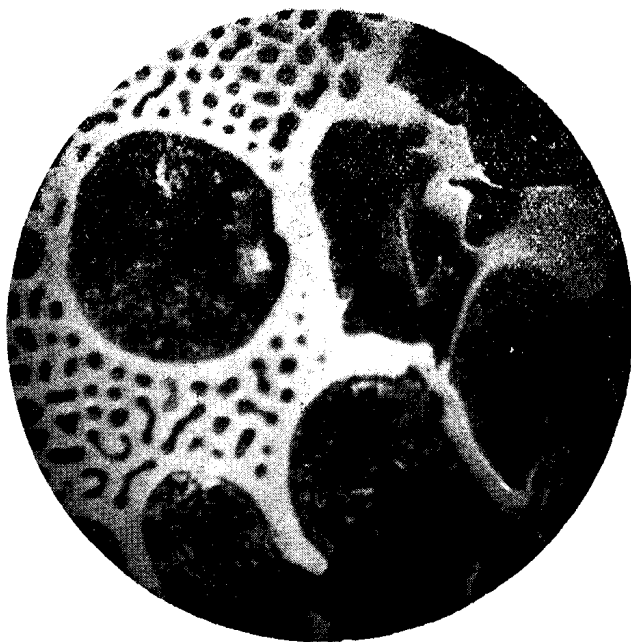
Табл. III.

Къ статьѣ Л. Красина.



Фиг. 9.

$v=1000$



Фиг. 16.

$v=1000$



Фиг. 11.

$v=100$

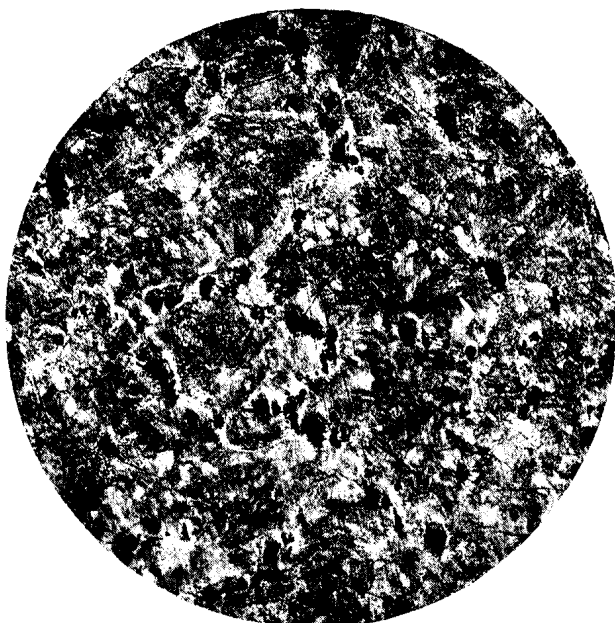


Фиг. 12.

$v=100$

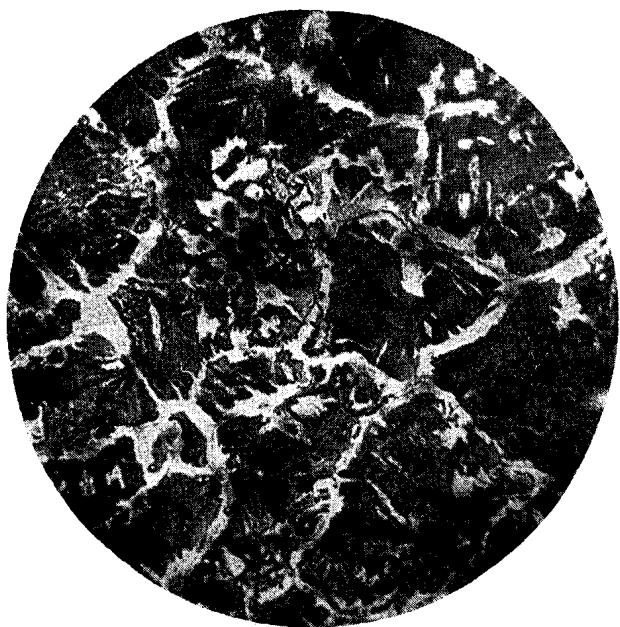
Табл. IV.

Къ статьѣ Л. Красина.



Фиг. 13.

$v=100$



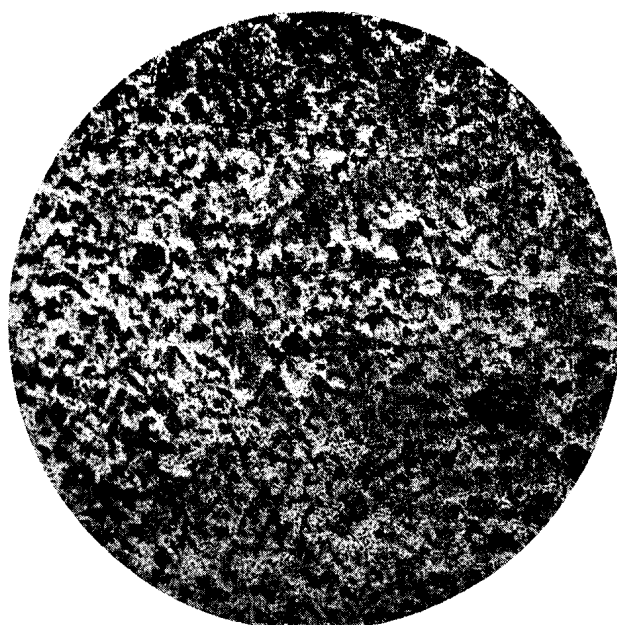
Фиг. 14.

$v=100$



Фиг. 15.

$v=100$



Фиг. 16.

$v=100$

Изображение листа с описанием: "На рисунке дается экспериментально-изделийским методом изображение
бесшарнирного пружинного процесса".

Страница 5.
Диаграммы.

